B Limitante de Cramér-Rao: modelo síncrono com uma portadora BPSK

O primeiro cenário a ser analisado para o cálculo do limitante de Cramér-Rao é o mais simples de todos, que apresenta apenas uma portadora BPSK no modelo síncrono, isto é, utiliza-se pulso raiz de Nyquist e não há interferência entre símbolos. O vetor de parâmetros desconhecidos φ deste cenário é

$$\varphi = \left[\begin{array}{cc} \omega & \Re(B) & \Im(B) \end{array} \right]^T \tag{B-1}$$

onde ω é a defasagem provocada pela DOA e B é a amplitude complexa da portadora. O parâmetro ω se relaciona com a DOA ψ de acordo com a função

$$\omega = -\pi \operatorname{sen}(\psi) \tag{B-2}$$

Ao se utilizar um array setorizado que cobre uma região onde ψ pode variar no intervalo $[-60^{\circ}; 60^{\circ})$, nota-se que a relação entre ω e ψ em (B-2) é biunívoca, de modo que o vetor de parâmetros pode ser explicitado em função de ψ ,

$$\boldsymbol{\varphi} = \left[\begin{array}{cc} \psi & \Re(B) & \Im(B) \end{array} \right]^T \tag{B-3}$$

e tendo em vista que (B-2) não é função do vetor de observações, a análise a seguir pode ser conduzida utilizando qualquer dos dois vetores de parâmetros.

A função de menos-log-verossimilhança deste cenário é

$$\mathcal{L}(\varphi) = \operatorname{cte} + \frac{Nm}{2N_0} A^2 - \sum_{k=1}^{N} \ln \cosh(f_k)$$
 (B-4)

onde

$$f_k = \frac{1}{N_0} \Re[\mathbf{Z}_k^H \mathbf{S} B] \tag{B-5}$$

com o vetor ${f S}$ definido como

$$\mathbf{S} = \begin{bmatrix} 1 & e^{j\omega} & \cdots & e^{j(m-1)\omega} \end{bmatrix}^T$$
 (B-6)

onde T é o operador de transposição. A derivada de ${\bf S}$ em relação a ω é imediata e, por esta razão, (B-1) será preferido no desenvolvimento a seguir. Embora o limitante de ψ seja mais importante na prática, as derivadas em ψ podem ser facilmente obtidas a partir das derivadas em ω calculadas a seguir. Esta discussão será mais aprofundada após o desenvolvimento do limitante para ω .

As derivadas de primeira ordem de (B-4) originam o estimador do vetor de parâmetros φ , dado por

$$\frac{\partial \mathcal{L}(\boldsymbol{\varphi})}{\partial \omega} = \frac{1}{N_0} \sum_{k=1}^{N} \Im[\mathbf{Z}_k^H \mathbf{J} \mathbf{S} B] \tanh\{f_k\}$$
 (B-7)

$$\frac{\partial \mathcal{L}(\boldsymbol{\varphi})}{\partial \Re(B)} = \frac{mN}{N_0} \Re(B) - \frac{1}{N_0} \sum_{k=1}^{N} \Re[\mathbf{S}^H \mathbf{Z}_k] \tanh\{f_k\}$$
 (B-8)

$$\frac{\partial \mathcal{L}(\boldsymbol{\varphi})}{\partial \Im(B)} = \frac{mN}{N_0} \Im(B) - \frac{1}{N_0} \sum_{k=1}^{N} \Im[\mathbf{S}^H \mathbf{Z}_k] \tanh\{f_k\}$$
 (B-9)

As derivadas de segunda ordem (incluindo as derivadas mistas) são obtidas diretamente destas expressões. Assim,

$$\frac{\partial^2 \mathcal{L}(\boldsymbol{\varphi})}{\partial \omega^2} = \frac{1}{N_0} \sum_{k=1}^N \Re[\mathbf{Z}_k^H \mathbf{J}^2 \mathbf{S} B] \tanh\{f_k\} - \frac{1}{N_0^2} \sum_{k=1}^N \Im[\mathbf{Z}_k^H \mathbf{J} \mathbf{S} B]^2 \operatorname{sech}^2\{f_k\}$$
(B-10)

$$\frac{\partial^2 \mathcal{L}(\boldsymbol{\varphi})}{\partial \Re(B)^2} = \frac{mN}{N_0} - \frac{1}{N_0^2} \sum_{k=1}^N \Re[\mathbf{S}^H \mathbf{Z}_k]^2 \operatorname{sech}^2\{f_k\}$$
 (B-11)

$$\frac{\partial^2 \mathcal{L}(\boldsymbol{\varphi})}{\partial \Im(B)^2} = \frac{mN}{N_0} - \frac{1}{N_0^2} \sum_{k=1}^N \Im[\mathbf{S}^H \mathbf{Z}_k]^2 \operatorname{sech}^2\{f_k\}$$
 (B-12)

$$\frac{\partial^{2} \mathcal{L}(\boldsymbol{\varphi})}{\partial \omega \, \partial \Re(B)} = \frac{1}{N_{0}} \sum_{k=1}^{N} \Im[\mathbf{Z}_{k}^{H} \mathbf{J} \mathbf{S}] \tanh\{f_{k}\} + \frac{1}{N_{0}^{2}} \sum_{k=1}^{N} \Re[\mathbf{S}^{H} \mathbf{Z}_{k}] \Im[\mathbf{Z}_{k}^{H} \mathbf{J} \mathbf{S} B] \operatorname{sech}^{2}\{f_{k}\}$$
(B-13)

$$\frac{\partial^{2} \mathcal{L}(\boldsymbol{\varphi})}{\partial \omega \, \partial \Im(B)} = \frac{1}{N_{0}} \sum_{k=1}^{N} \Re[\mathbf{Z}_{k}^{H} \mathbf{J} \mathbf{S}] \tanh\{f_{k}\} + \frac{1}{N_{0}^{2}} \sum_{k=1}^{N} \Im[\mathbf{S}^{H} \mathbf{Z}_{k}] \Re[\mathbf{Z}_{k}^{H} \mathbf{J} \mathbf{S} B] \operatorname{sech}^{2}\{f_{k}\}$$
(B-14)

$$\frac{\partial^2 \mathcal{L}(\boldsymbol{\varphi})}{\partial \Re(B) \, \partial \Im(B)} = \frac{1}{N_0^2} \sum_{k=1}^N \Re[\mathbf{Z}_k^H \mathbf{S}] \Im[\mathbf{Z}_k^H \mathbf{S}] \operatorname{sech}^2\{f_k\}$$
(B-15)

Para valores altos de E_b/N_0 , o valor de f_k será suficientemente alto para que

$$\tanh\{f_k\} \approx \operatorname{sgn}\{f_k\}$$
$$\operatorname{sech}^2\{f_k\} \approx 0$$
 (B-16)

onde sgn(x) é igual a 1 quando x é positivo, -1 quando negativo e zero quando nulo. Verifica-se que estas aproximações apresentam erros suficientemente pequenos para $E_b/N_0 \ge -6 \,\mathrm{dB}$, de modo que elas serão utilizadas sem restrições por abranger toda a faixa de interesse das simulações $(-2 dB \le E_b/N_0 \le 10 dB)$. As derivadas de segunda ordem aproximadas serão, então, dadas por

$$\frac{\partial^2 \mathcal{L}(\boldsymbol{\varphi})}{\partial \omega^2} = \frac{1}{N_0} \sum_{k=1}^N \Re[\mathbf{Z}_k^H \mathbf{J}^2 \mathbf{S} B] \operatorname{sgn}\{f_k\}$$
 (B-17)

$$\frac{\partial^2 \mathcal{L}(\varphi)}{\partial \Re(B)^2} = \frac{\partial^2 \mathcal{L}(\varphi)}{\partial \Im(B)^2} = \frac{mN}{N_0}$$
 (B-18)

$$\frac{\partial^2 \mathcal{L}(\boldsymbol{\varphi})}{\partial \omega \, \partial \Re(B)} = \frac{1}{N_0} \sum_{k=1}^N \Im[\mathbf{Z}_k^H \mathbf{J} \mathbf{S}] \operatorname{sgn}\{f_k\}$$
 (B-19)

$$\frac{\partial^{2} \mathcal{L}(\boldsymbol{\varphi})}{\partial \omega \, \partial \Im(B)} = \frac{1}{N_{0}} \sum_{k=1}^{N} \Re[\mathbf{Z}_{k}^{H} \mathbf{J} \mathbf{S}] \operatorname{sgn}\{f_{k}\}$$
(B-20)

$$\frac{\partial^2 \mathcal{L}(\varphi)}{\partial \Re(B) \, \partial \Im(B)} = 0 \tag{B-21}$$

O valor esperado com relação ao vetor de observações \mathbf{z}_k é imediato em (B-18) e (B-21). Para as demais expressões, no entanto, o seu cálculo é mais trabalhoso e requer um pouco de cuidado. Nota-se que, tanto $\Re[\mathbf{Z}_k^H\mathbf{J}^2\mathbf{S}B],$ em (B-17), como $\Im[\mathbf{Z}_k^H\mathbf{J}\mathbf{S}]$ e $\Re[\mathbf{Z}_k^H\mathbf{J}\mathbf{S}]$, respectivamente em (B-19) e (B-20), podem ser representados como $g(\mathbf{Z}_k)$, onde g é uma função linear escalar ímpar do vetor de observações no instante k. Assim, calculando

$$E\left[g(\mathbf{z}_k)\cdot\operatorname{sgn}\{f_k\}\middle|\boldsymbol{\varphi}\right]$$

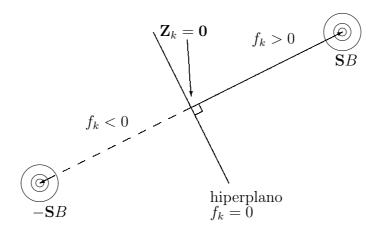


Figura B.1: Fdp condicional do vetor de observações em um instante k para o cenário com uma portadora BPSK com correção de relógio.

pode-se facilmente encontrar o valor esperado de (B-17), (B-19) e (B-20).

A fdp condicional do vetor de observações \mathbf{z}_k é ilustrada na Fig. B.1. Ela é constituída pela média de duas gaussianas centradas em $\pm \mathbf{S}B$. Percebe-se que, na região definida à direita do hiperplano $f_k = 0$, o valor de f_k será positivo, logo sgn $\{f_k\}=1$. Na região à esquerda deste hiperplano, f_k será negativo e sgn $\{f_k\} = -1$. Assim,

$$E\left[g(\mathbf{z}_k)\cdot\operatorname{sgn}\{f_k\}\middle|\boldsymbol{\varphi}\right] = \frac{1}{2}\left(I_1 - I_2 + I_3 - I_4\right)$$
 (B-22)

onde

$$I_{1} = \int_{D\mathbf{z}_{k}|f_{k}>0} g(\mathbf{Z}_{k}) \frac{1}{(2\pi N_{0})^{m}} e^{-\frac{1}{2N_{0}} \|\mathbf{Z}_{k} - \mathbf{S}B\|^{2}} d\mathbf{Z}$$

$$I_{2} = \int_{D\mathbf{z}_{k}|f_{k}<0} g(\mathbf{Z}_{k}) \frac{1}{(2\pi N_{0})^{m}} e^{-\frac{1}{2N_{0}} \|\mathbf{Z}_{k} - \mathbf{S}B\|^{2}} d\mathbf{Z}$$

$$I_{3} = \int_{D\mathbf{z}_{k}|f_{k}>0} g(\mathbf{Z}_{k}) \frac{1}{(2\pi N_{0})^{m}} e^{-\frac{1}{2N_{0}} \|\mathbf{Z}_{k} + \mathbf{S}B\|^{2}} d\mathbf{Z}$$

$$I_{4} = \int_{D\mathbf{z}_{k}|f_{k}<0} g(\mathbf{Z}_{k}) \frac{1}{(2\pi N_{0})^{m}} e^{-\frac{1}{2N_{0}} \|\mathbf{Z}_{k} + \mathbf{S}B\|^{2}} d\mathbf{Z}$$

com d $\mathbf{Z} = \mathrm{d}\Re(Z_1)\,\mathrm{d}\Im(Z_1)\,\mathrm{d}\Re(Z_2)\cdots\mathrm{d}\Im(Z_m)$ e $D_{\mathbf{Z}_k}$ representando o domínio complexo m-dimensional do vetor \mathbf{Z}_k . Estas integrais são tais que, ao se substituir \mathbf{Z}_k por $-\mathbf{Z}_k$, e lembrando que a função g é impar, tem-se que $I_3 = -I_2$ e $I_4 = -I_1$. Logo,

$$E\left[g(\mathbf{z}_k) \cdot \text{sgn}\{f_k\}\middle|\boldsymbol{\varphi}\right] = I_1 - I_2 = I_1 + I_2 - 2I_2 = g(\mathbf{S}B) - 2I_2$$
 (B-23)

pois $I_1 + I_2$ representa a integral em todo o domínio de \mathbf{Z}_k da gaussiana de média $+\mathbf{S}B$ ponderada pela função linear g. Para resolver I_2 , é necessário efetuar uma rotação no espaço \mathbf{Z}_k de modo que o primeiro eixo do novo espaço aponte na direção perpendicular ao hiperplano $f_k = 0$. Os demais eixos do novo espaço devem permanecer situados neste hiperplano, para manter a ortogonalidade da base. A matriz ortonormal P que faz a rotação de \mathbf{Z}_k no novo espaço \mathbf{Y}_k é definida como

$$\mathbf{Y}_{k} = \mathbf{P} \cdot \mathbf{Z}_{k} \qquad \rightleftharpoons \qquad \mathbf{Z}_{k} = \mathbf{P}^{H} \cdot \mathbf{Y}_{k}$$

$$\mathbf{P} = \begin{pmatrix} \mathbf{P}_{1} \\ \mathbf{P}_{r} \end{pmatrix} \qquad \Rightarrow \qquad \begin{array}{c} \mathbf{P}_{1} = m^{-1/2} e^{-j\theta} \mathbf{S}^{H} \\ \mathbf{P}_{r} \text{ \'e tal que } \mathbf{P}_{r} \mathbf{S} B = \mathbf{0} \end{array}$$
(B-24)

onde H é o operador hermitiano, \mathbf{P}_{1} representa a primeira linha de \mathbf{P} e \mathbf{P}_r inclui as linhas restantes. O primeiro elemento do vetor \mathbf{Y}_k pode ser realçado através de

$$\mathbf{Y}_k = \begin{pmatrix} Y_1 \\ \mathbf{Y}_r \end{pmatrix} = \begin{pmatrix} \mathbf{P}_1 \mathbf{Z}_k \\ \mathbf{P}_r \mathbf{Z}_k \end{pmatrix}$$
 (B-25)

enquanto que \mathbf{Z}_k pode ser expresso por

$$\mathbf{Z}_k = \mathbf{P}^H \cdot \mathbf{Y}_k = \mathbf{P}_1^H \cdot Y_1 + \mathbf{P}_r^H \cdot \mathbf{Y}_r \tag{B-26}$$

Como a matriz **P** é ortonormal, o elemento diferencial d**Y** é igual a d**Z**. Na exponencial de I_2 , destaca-se que

$$\|\mathbf{Z}_k - \mathbf{S}B\|^2 = \|\mathbf{P}^H(\mathbf{Y}_k - \mathbf{P}\mathbf{S}B)\|^2 = \|\mathbf{Y}_k - \mathbf{P}\mathbf{S}B\|^2$$
 (B-27)

pois $\mathbf{P}^H\mathbf{P} = \mathbf{P}\mathbf{P}^H = \mathbf{I}$. Utilizando (B-26) e (B-27) e explorando a linearidade da função g, chega-se a

$$I_{2} = \int_{-\infty}^{0} \underbrace{\int_{-\infty}^{\infty} \dots \int_{-\infty}^{\infty}}_{2m-1 \text{ integrais}} g(\mathbf{P}^{H}\mathbf{Y}_{k}) \frac{1}{(2\pi N_{0})^{m}} e^{-\frac{1}{2N_{0}} \|\mathbf{P}^{H}\mathbf{Y}_{k} - \mathbf{S}B\|^{2}} d\mathbf{Y} =$$

$$= \int_{-\infty}^{0} \underbrace{\int_{-\infty}^{\infty} \dots \int_{-\infty}^{\infty}}_{2m-1 \text{ integrais}} g(\mathbf{P}_{1}^{H}Y_{1}) \frac{1}{(2\pi N_{0})^{m}} e^{-\frac{1}{2N_{0}} \|\mathbf{Y}_{k} - \mathbf{P}\mathbf{S}B\|^{2}} d\mathbf{Y} +$$

$$+ \int_{-\infty}^{0} \underbrace{\int_{-\infty}^{\infty} \dots \int_{-\infty}^{\infty}}_{2m-1 \text{ integrais}} g(\mathbf{P}_{r}^{H}\mathbf{Y}_{r}) \frac{1}{(2\pi N_{0})^{m}} e^{-\frac{1}{2N_{0}} \|\mathbf{Y}_{k} - \mathbf{P}\mathbf{S}B\|^{2}} d\mathbf{Y} \quad (B-28)$$

A última integral em (B-28) se transforma em

$$g(\mathbf{P}_r^H \mathbf{0}) \left[\int_{-\infty}^0 \int_{-\infty}^\infty \frac{1}{2\pi N_0} e^{-\frac{1}{2N_0} |Y_1 - A\sqrt{m}|^2} d\Im(Y_1) \Re(Y_1) \right]$$
 (B-29)

que vale zero, pois g é uma função ímpar contínua. A primeira integral em (B-28) simplifica para

$$I_2 = \int_{-\infty}^{0} \int_{-\infty}^{\infty} g(\mathbf{P}_1^H Y_1) \frac{1}{2\pi N_0} e^{-\frac{1}{2N_0}|Y_1 - A\sqrt{m}|^2} d\Im(Y_1) \Re(Y_1)$$
 (B-30)

o que elimina a dependência com a matriz desconhecida \mathbf{P}_r . Analogamente, considerando $Y_1 = \Re(Y_1) + j\Im(Y_1)$, pode-se decompor (B-30) em duas integrais, conforme (B-28). A integral que contiver o termo $g(j\mathbf{P}_1^H\Im(Y_1))$ será nula, pelo mesmo motivo que faz o termo em (B-29) valer zero. Assim,

$$I_2 = g(\mathbf{P}_1^H) \int_{-\infty}^0 \Re(Y_1) \frac{1}{\sqrt{2\pi N_0}} e^{-\frac{1}{2N_0} [\Re(Y_1) - A\sqrt{m}]^2} d\Re(Y_1)$$
 (B-31)

pois g é uma função linear e $\Re(Y_1)$ é um escalar real. Resolvendo por substituição, tem-se

$$I_{2} = g(\mathbf{P}_{1}^{H}) \left(\int_{\infty}^{\frac{mA^{2}}{2N_{0}}} \sqrt{\frac{N_{0}}{2\pi}} e^{-u} du + A\sqrt{m} \int_{-\infty}^{-A\sqrt{\frac{m}{N_{0}}}} \frac{1}{\sqrt{2\pi}} e^{-\frac{u^{2}}{2}} du \right) =$$

$$= g(\mathbf{P}_{1}^{H}) \left[-\sqrt{\frac{N_{0}}{2\pi}} e^{-\frac{mA^{2}}{2N_{0}}} + A\sqrt{m} Q\left(\sqrt{\frac{mA^{2}}{N_{0}}}\right) \right]$$
(B-32)

onde

$$Q(x) = \int_{x}^{\infty} \frac{1}{\sqrt{2\pi}} e^{-\frac{u^{2}}{2}} du$$
 (B-33)

Sendo $g(\mathbf{S}B) = g(\mathbf{P}_1^H) \cdot A\sqrt{m}$, tem-se de (B-23) que

$$E\left[g(\mathbf{z}_k) \cdot \operatorname{sgn}\{f_k\}\middle|\boldsymbol{\varphi}\right] =$$

$$= g(\mathbf{S}B)\left\{1 + \sqrt{\frac{2}{\pi}}\sqrt{\frac{N_0}{mA^2}}e^{-\frac{mA^2}{2N_0}} - 2\operatorname{Q}\left(\sqrt{\frac{mA^2}{N_0}}\right)\right\} \approx g(\mathbf{S}B) \text{ (B-34)}$$

e, assim, o valor esperado das derivadas de segunda ordem são dados por

$$E\left[\frac{\partial^2 \mathcal{L}(\boldsymbol{\varphi})}{\partial \omega^2} \middle| \boldsymbol{\varphi}\right] = \frac{NA^2}{N_0} \operatorname{tr}\{\mathbf{J}^2\}$$
 (B-35)

$$E\left[\frac{\partial^{2}\mathcal{L}(\varphi)}{\partial \Re(B)^{2}}\middle|\varphi\right] = E\left[\frac{\partial^{2}\mathcal{L}(\varphi)}{\partial \Im(B)^{2}}\middle|\varphi\right] = \frac{mN}{N_{0}}$$
 (B-36)

$$E\left[\frac{\partial^2 \mathcal{L}(\boldsymbol{\varphi})}{\partial \omega \, \partial \Re(B)} \middle| \boldsymbol{\varphi}\right] = -\frac{NA}{N_0} \operatorname{sen}(\theta) \operatorname{tr}\{\mathbf{J}\}$$
 (B-37)

$$E\left[\frac{\partial^2 \mathcal{L}(\boldsymbol{\varphi})}{\partial \omega \, \partial \Im(B)} \middle| \boldsymbol{\varphi}\right] = \frac{NA}{N_0} \cos(\theta) \operatorname{tr}\{\mathbf{J}\}$$
 (B-38)

$$E\left[\frac{\partial^2 \mathcal{L}(\varphi)}{\partial \Re(B) \, \partial \Im(B)} \middle| \varphi\right] = 0 \tag{B-39}$$

e a matriz de informação de Fisher será dada por

$$\frac{N}{N_0} \cdot \begin{bmatrix}
A^2 \operatorname{tr}\{\mathbf{J}^2\} & -A \operatorname{sen}(\theta) \operatorname{tr}\{\mathbf{J}\} & A \cos(\theta) \operatorname{tr}\{\mathbf{J}\} \\
-A \operatorname{sen}(\theta) \operatorname{tr}\{\mathbf{J}\} & m & 0 \\
A \cos(\theta) \operatorname{tr}\{\mathbf{J}\} & 0 & m
\end{bmatrix}$$
(B-40)

com determinante Δ igual a

$$\Delta = \frac{N^3}{N_0^3} A^2 \left[m^2 \operatorname{tr} \{ \mathbf{J}^2 \} - m \operatorname{tr} \{ \mathbf{J} \}^2 \right]$$
 (B-41)

e, assim, o limitante de Cramér-Rao para a variância do erro de estimação do parâmetro ω será igual a

$$LCR_{\omega} = \frac{N^2}{N_0^2} \cdot \frac{m^2}{\Delta} = \frac{N_0}{NA^2} \cdot \frac{m}{m \operatorname{tr}\{\mathbf{J}^2\} - \operatorname{tr}\{\mathbf{J}\}^2}$$
 (B-42)

Para determinar o limitante de Cramér-Rao da variância do erro de estimação da DOA ψ , deve-se repetir esta análise utilizando o vetor de parâmetros definido em (B-3). Felizmente, a maior parte dos cálculos pode ser reaproveitada. Considerando que

$$\frac{\partial \mathcal{L}(\varphi)}{\partial \psi} = \frac{\partial \omega}{\partial \psi} \cdot \frac{\partial \mathcal{L}(\varphi)}{\partial \omega} = -\pi \cos(\psi) \cdot \frac{\partial \mathcal{L}(\varphi)}{\partial \omega}$$
 (B-43)

$$\frac{\partial^2 \mathcal{L}(\varphi)}{\partial \psi^2} = \frac{\partial^2 \omega}{\partial \psi^2} \cdot \frac{\partial \mathcal{L}(\varphi)}{\partial \omega} + \left(\frac{\partial \omega}{\partial \psi}\right)^2 \cdot \frac{\partial^2 \mathcal{L}(\varphi)}{\partial \omega^2} =
= \pi \operatorname{sen}(\psi) \cdot \frac{\partial \mathcal{L}(\varphi)}{\partial \omega} + \pi^2 \cos^2(\psi) \cdot \frac{\partial^2 \mathcal{L}(\varphi)}{\partial \omega^2} \tag{B-44}$$

e que as derivadas de primeira e segunda ordem de ω em relação a ψ são constantes em \mathbf{z}_k , tem-se, segundo o resultado obtido em (B-34), que

$$E\left[\frac{\partial^{2}\mathcal{L}(\varphi)}{\partial\psi^{2}}\middle|\varphi\right] = \pi\operatorname{sen}(\psi)\cdot 0 + \pi^{2}\cos^{2}(\psi)\cdot E\left[\frac{\partial^{2}\mathcal{L}(\varphi)}{\partial\omega^{2}}\middle|\varphi\right]$$
(B-45)

$$E\left[\frac{\partial^{2}\mathcal{L}(\varphi)}{\partial\psi\,\partial\Re(B)}\Big|\varphi\right] = -\pi\cos(\psi)\cdot E\left[\frac{\partial^{2}\mathcal{L}(\varphi)}{\partial\omega\,\partial\Re(B)}\Big|\varphi\right]$$
(B-46)

$$E\left[\frac{\partial^{2}\mathcal{L}(\varphi)}{\partial\psi\,\partial\Im(B)}\Big|\varphi\right] = -\pi\cos(\psi)\cdot E\left[\frac{\partial^{2}\mathcal{L}(\varphi)}{\partial\omega\,\partial\Im(B)}\Big|\varphi\right] \tag{B-47}$$

e as outras derivadas não se alteram. Considerando agora que ψ é uma v.a. uniformemente distribuída em $[-60^0, 60^0)$, o valor esperado em ψ de (B-45)–(B-47) também precisará ser calculado para que a matriz de informação de Fisher seja obtida, pois

$$\frac{\partial}{\partial \boldsymbol{\varphi}} \frac{\partial}{\partial \boldsymbol{\varphi}^{T}} \ln p_{\mathbf{z},\psi|B}(\mathbf{Z}, \boldsymbol{\Psi}) = \frac{\partial}{\partial \boldsymbol{\varphi}} \frac{\partial}{\partial \boldsymbol{\varphi}^{T}} \ln p_{\mathbf{z}|\psi,B}(\mathbf{Z}) +
+ \frac{\partial}{\partial \boldsymbol{\varphi}} \frac{\partial}{\partial \boldsymbol{\varphi}^{T}} \ln p_{\psi}(\boldsymbol{\Psi}) = \frac{\partial}{\partial \boldsymbol{\varphi}} \frac{\partial}{\partial \boldsymbol{\varphi}^{T}} \ln p_{\mathbf{z}|\psi,B}(\mathbf{Z})$$
(B-48)

ou seja, como a fdp de uma v.a. uniforme tem derivada nula, a matriz de informação de Fisher obtida no caso MAP difere da obtida no caso ML pelo acréscimo do valor esperado em ψ . Logo,

$$E\left[\cos(\psi)\right] = \int_{-\pi/3}^{\pi/3} \cos(\psi) \frac{3}{2\pi} d\psi = \frac{3\sqrt{3}}{2\pi}$$
 (B-49)

$$E\left[\cos^{2}(\psi)\right] = \frac{1}{2} + \frac{1}{2} \int_{-\pi/3}^{\pi/3} \cos(2\psi) \frac{3}{2\pi} d\psi = \frac{1}{2} + \frac{3\sqrt{3}}{8\pi}$$
 (B-50)

e o valor esperado em ψ de (B-45)–(B-47) é dado por

$$E\left[\frac{\partial^2 \mathcal{L}(\boldsymbol{\varphi})}{\partial \psi^2} \middle| \boldsymbol{\varphi}\right] = A^2 \left(\frac{\pi^2}{2} + \frac{3\sqrt{3}\pi}{8}\right) \operatorname{tr}\{\mathbf{J}^2\}$$
 (B-51)

$$E\left[\frac{\partial^2 \mathcal{L}(\boldsymbol{\varphi})}{\partial \psi \, \partial \Re(B)} \middle| \boldsymbol{\varphi}\right] = A \frac{3\sqrt{3}}{2} \operatorname{sen}(\theta) \operatorname{tr}\{\mathbf{J}\}$$
 (B-52)

$$E\left[\frac{\partial^{2}\mathcal{L}(\varphi)}{\partial\psi\,\partial\Im(B)}\middle|\varphi\right] = -A\frac{3\sqrt{3}}{2}\cos(\theta)\operatorname{tr}\{\mathbf{J}\}\tag{B-53}$$

e o determinante da matriz de informação de Fisher será

$$\Delta = \frac{N^3}{N_0^3} A^2 \left[\left(\frac{\pi^2}{2} + \frac{3\sqrt{3}\pi}{8} \right) m^2 \operatorname{tr} \{ \mathbf{J}^2 \} - \frac{27}{4} m \operatorname{tr} \{ \mathbf{J} \}^2 \right]$$
 (B-54)

Logo, o limitante de Cramér-Rao para a variância do erro de estimação da

DOA ψ vale

$$LCR_{\psi} = \frac{N^{2}}{N_{0}^{2}} \cdot \frac{m^{2}}{\Delta} = \frac{N_{0}}{NA^{2}} \cdot \frac{m}{(\frac{\pi^{2}}{2} + \frac{3\sqrt{3}\pi}{8})m \operatorname{tr}\{\mathbf{J}^{2}\} - \frac{27}{4} \operatorname{tr}\{\mathbf{J}\}^{2}} =$$

$$= \frac{8N_{0}}{NA^{2}} \cdot \frac{m}{(4\pi^{2} + 3\sqrt{3}\pi)m \operatorname{tr}\{\mathbf{J}^{2}\} - 54 \operatorname{tr}\{\mathbf{J}\}^{2}}$$
(B-55)

onde ψ , de acordo com (B-49) e (B-50), é dado em radianos. Para determinar o limitante inferior da variância do erro de ψ em graus, deve-se realizar uma mudança de escala. Como

$$Var(\psi) = E\left[(\hat{\psi} - \psi)^2\right] \ge LCR_{\psi}$$
 (B-56)

percebe-se que a variância de ψ , em graus, será $180^2/\pi^2$ vezes a variância de ψ em radianos. Logo, o limitante de Cramér-Rao de ψ em graus, pode ser obtido simplesmente multiplicando a expressão obtida em (B-55) por $180^2/\pi^2$.